



## РЕАГЕНТЫ ДЛЯ МОДИФИКАЦИИ БЕЛКОВО-НУКЛЕИНОВЫХ КОМПЛЕКСОВ. II. САЙТ-СПЕЦИФИЧЕСКАЯ ФОТОМОДИФИКАЦИЯ КОМПЛЕКСОВ ДНК-ПОЛИМЕРАЗЫ $\beta$ ПРАЙМЕРАМИ, ЭЛОНГИРОВАННЫМИ экзо-N-ЗАМЕШЕННЫМИ АРИЛАЗИДНЫМИ ПРОИЗВОДНЫМИ dCTP

© 2001 г. И. А. Драчкова\*, И. О. Петрусева, И. В. Сафонов<sup>#</sup>, А. Л. Захаренко, Г. В. Шишкин, О. И. Лаврик, С. Н. Ходырева

Новосибирский институт биоорганической химии СО РАН,  
630090, Новосибирск, просп. Акад. Лаврентьева, 8;

\*Новосибирский государственный университет, Новосибирск

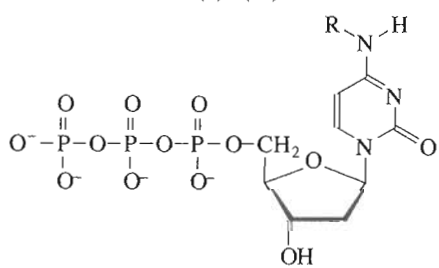
Поступила в редакцию 08.09.2000 г. Принята к печати 30.10.2000 г.

Исследованы субстратные свойства в реакции элонгации праймеров, катализируемой ДНК-полимеразой  $\beta$  крысы, ранее синтезированных и охарактеризованных производных dCTP (I)–(V), несущих в экзо-N- положении цитозина 2-(4-азидо-2,3,5,6-тетрафторбензоиламино)этильную (I), 2-(2-нитро-5-азидобензоиламино)этильную (II), 2-(4-азидо-2,3,5,6-тетрафторбензилиденаминооксиметилкарбониламино)этильную (III), 4-(4-азидо-2,3,5,6-тетрафторбензилиденаминоокси)бутилокси (IV) или 4-(4-азидо-2,3,5,6-тетрафторбензилиденгидразинокарбонил)бутилкарбониламино группу (V). В отличие от результатов, полученных ранее в системе с обратной транскриптазой вируса иммунодефицита человека (ОТ ВИЧ), производные dCTP (I)–(III) не воспринимались ДНК-полимеразой  $\beta$  в качестве аналога dTTP, а в качестве аналога dCTP использовались все пять нуклеотидов. По сравнению со значениями, полученными для dCTP,  $K_m$  для производных dCTP в 4–20 раз выше,  $V_{max}$  в 1–2.3 раза выше для аналогов (I)–(III), (V) и в ~20 раз ниже для производного (IV). Проведены сайт-специфические фотомодификации праймер-матричных комплексов ДНК-полимеразы  $\beta$  фотоаффинными реагентами ( $\Phi P$ ), полученными *in situ* элонгацией 5'-<sup>32</sup>P-меченых праймеров аналогами dCTP (I)–(V) ( $\Phi P_I$ – $\Phi P_V$  соответственно), при облучении УФ-светом с длиной волны 303–313 нм.  $\Phi P_I$  позволил получить наибольшую степень фотопришивок 5'-<sup>32</sup>P-меченого праймера к ДНК-матрице (56%), а  $\Phi P_{IV}$  – к ферменту (20%). Наименьшая эффективность фотопришивок (~1%) наблюдалась для  $\Phi P_{II}$ .

**Ключевые слова:** производные dCTP; перфторарилазиды; ДНК-полимераза  $\beta$ ; фотоаффинная модификация.

### ВВЕДЕНИЕ

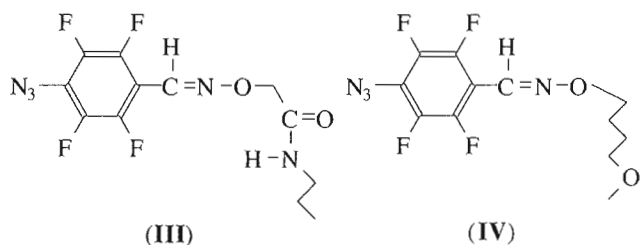
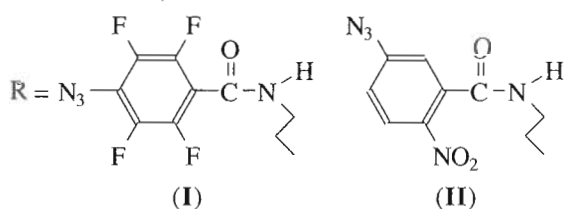
В предыдущих работах [1, 2] были описаны синтез, спектральные и фотохимические свойства производных dCTP (I)–(V).

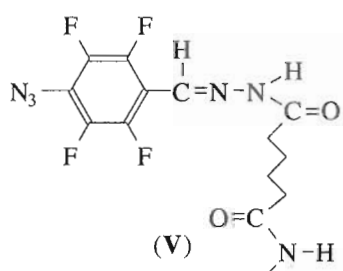


Сообщение I см. [1].

Сокращения: ОТ ВИЧ – обратная транскриптаза вируса иммунодефицита человека;  $\Phi P$  – фотоаффинный реагент; п/м – праймер-матричная система.

<sup>#</sup>Автор для переписки (тел.: (383-2) 333-762; e-mail: safron@niboch.nsc.ru).

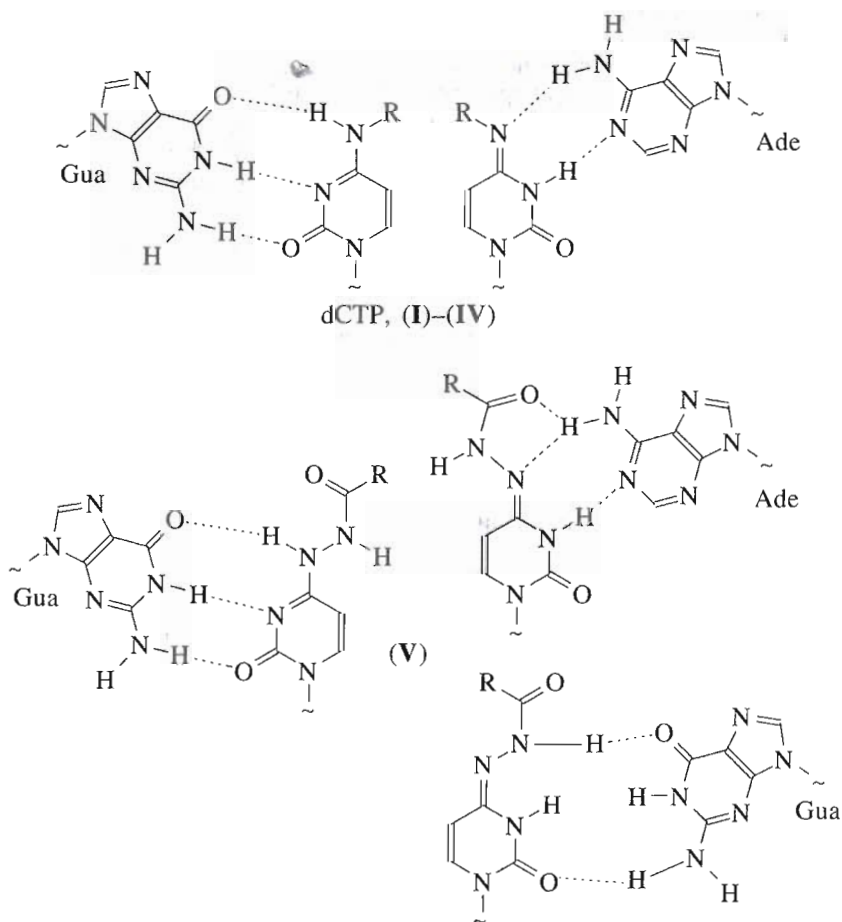




Были также протестированы субстратные свойства этих соединений в реакциях ДНК- и РНК-зависимого синтеза ДНК в системе с обратной транскриптазой ВИЧ и синтетическими праймер-матричными дуплексами [1]. Было обнаружено, что увеличение размера заместителя значительно снижает эффективность элонгации синтетических праймеров аналогами dCTP (I)–(V). Кроме того, изменение природы *экзо-N*-модифицирующей группы цитозинового основания dCTP от алкильной (аналоги (I)–(III)) до оксиалкильной (IV) и аминокарбонильной (V), обусловливающее сдвиг таутомерного равновесия гетероциклического основания от амино- к иминоформе [3] (рис. 1), приводило к изменению субстратных свойств от

характерных для dCTP к соответствующим dTTP. Причем, если производное (V) воспринималось ОТ ВИЧ с высокой эффективностью в качестве как dTTP-, так и dCTP-аналога, то соединение (IV) распознавалось только как dTTP. Двойственный характер субстратных свойств *экзо-N*-аминоакарбонильного производного dCTP (V) позволяет предположить, что амино- и иминоформы его гетероциклического основания представлены примерно одинаково, но не исключено, что основание в иминоформе может образовывать достаточно стабильные комплементарные пары как с Ade-, так и с Gua-звеньями матрицы (рис. 1). Ни одно из *экзо-N*-замещенных производных dCTP не проявило себя строгим терминатором, и элонгированные ими праймеры достраивались ОТ ВИЧ до полномерных комплементарных копий матрицы с помощью обычных dNTP.

Производные (I)–(V) существенно различаются по своим фотохимическим свойствам. Аналог (II) содержит 2-нитро-5-азидобензоильную группу, при фотолизе которой образуются преимущественно продукты, характерные для реакций триплетного нитрена [4]. Соединение (I) содержит



**Рис. 1.** Схемы предполагаемых комплементарных взаимодействий уотсон-криковского типа для амино- и имино-таутомерных форм гетероциклических оснований производных dCTP (I)–(V).

4-азидотетрафторбензоильную группу, при облучении которой в апротонной среде с высоким выходом образуются продукты реакций синглетного нитрена [5]. Аналоги (III)–(V) содержат 4-азидотетрафторбензилиденовые группы. Их применение вместо 4-азидотетрафторбензоильных групп является одним из способов резко увеличить чувствительность к ближнему УФ-свету без существенной потери реакционной способности образующихся при фотолизе синглетных нитренов [5].

Цель данной работы состояла в том, чтобы провести сайт-специфическую фотомодификацию праймер-матричного комплекса ДНК-полимеразы с помощью фотоаффинных реагентов, полученных *in situ* элонгацией 5'-<sup>32</sup>P-мечеными праймерами с помощью производных dCTP (I)–(V). Для этого планировалось сначала протестировать субстратные свойства этих производных при элонгации праймеров ДНК-полимеразой  $\beta$  мlekопитающих в условиях, аналогичных использованным в работе [1] для ОТ ВИЧ. По результатам

тестирований в этих двух ферментных системах и с учетом фотохимических свойств аналогов dCTP (I)–(V) предполагалось выбрать фермент и праймер-матричную систему для получения фотоаффинных реагентов *in situ*, а также условия проведения сайт-специфической фотомодификации сформировавшихся белково-нуклеиновых комплексов. На основании полученных результатов предполагалось оценить влияние свойств *экзо-N*-замещенных производных dCTP, использованных для получения ФР, на эффективность фотопришивок к ферменту и матрице.

## РЕЗУЛЬТАТЫ И ОБСУЖДЕНИЕ

### *Субстратные свойства*

Субстратные свойства фотоактивируемых производных dCTP в реакции синтеза ДНК, катализируемой ДНК-полимеразой  $\beta$ , при замене ими природного dCTP проверяли с использованием праймер-матричной (п/м) системы п/м-1:



и при замене природного dTTP – с п/м-2:



На рис. 2 представлены данные электрофоретического разделения реакционных смесей после проведения элонгации с п/м-1 и аналогами dCTP (I)–(V) (рис. 2, дорожки 1–5) в условиях, обеспечивающих практически полное завершение этой реакции в присутствии природного dCTP (рис. 2, 6).

Как видно из результатов этой и предыдущей [1] работы по тестированию субстратных свойств *экзо-N*-замещенных производных dCTP (I)–(V), только использование ДНК-полимеразы  $\beta$  и п/м-1-системы позво-

лило все аналоги однократно встраиваться в праймер, после чего дальнейшая элонгация прекращалась. При тестировании производных (I)–(V) в праймер-матричной системе 2 в качестве аналогов dTTP наблюдалась элонгация праймеров на одну позицию, но только в присутствии аналогов (IV) и (V) (данные не представлены). Таким образом, проявилось существенное различие в идентификации *экзо-N*-замещенных производных dCTP двумя ДНК-полимеразами. В отличие от ОТ ВИЧ ДНК-полимераза  $\beta$  не воспринимала производные dCTP (I)–(III) как аналоги dTTP и идентифицировала все пять трифосфатов в качестве аналогов dCTP. Кроме того, в отличие от результатов, полученных при использовании ОТ ВИЧ, когда в аналогичных условиях наблюдалось существенное удлинение праймеров на одну или несколько дополнительных некомплектарных матрице позиций [1], ДНК-полимераза  $\beta$  элонгировала праймеры *экзо-N*-замещенными dCTP строго на одну позицию.

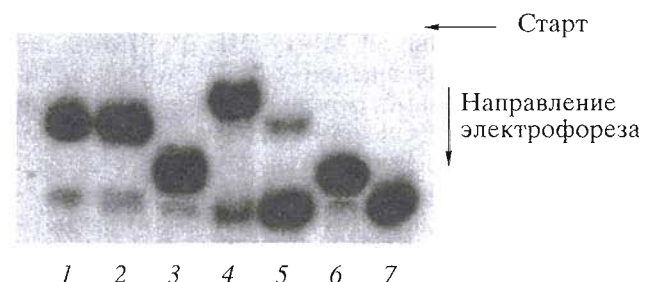


Рис. 2. Радиоавтограф электрофоретического разделения продуктов элонгации 5'-<sup>32</sup>P-праймеров, элонгированных ДНК-полимеразой  $\beta$  аналогами dCTP с использованием матрично-праймерной системы 1: 3'CCATTCCCCGATATGTCGTCTTGTGCTATAGCTTGG 5'GGTAGGGGCTATACAG.

Производное (I) – дорожка 1; (II) – 2; (III) – 3; (IV) – 4; (V) – 5; dCTP – 6; контроль (без dNTP) – 7. Реакционная смесь, помимо стандартных компонентов (см. "Эксперимент. часть"), содержала 0.5 мкМ ДНК-полимеразу  $\beta$ , 0.75 мкМ матрицу, 0.5 мкМ 5'-<sup>32</sup>P-праймер, один из аналогов dCTP или dCTP в концентрации 10 мкМ.

**Таблица 1.** Кинетические параметры реакций, катализируемых ДНК-полимеразой  $\beta$  крысы с использованием п/м-1-системы и аналогов dCTP (I)–(V)

Аналог dCTP	$K_m \times 10^5$ , М	$V_{max} \times 10^8$ , М с <sup>-1</sup>
dCTP	2.0 ± 0.2	6.5 ± 0.2
(I)	9.0 ± 1.0	7.1 ± 0.3
(II)	36 ± 4	8.3 ± 0.6
(III)	21 ± 2	15 ± 1
(IV)	19 ± 4	0.31 ± 0.04
(V)	9.0 ± 0.2	6.0 ± 0.7

воляет получить *in situ* ФР со всеми пятью аналогами. Кроме того, при элонгации праймеров ДНК-полимеразой  $\beta$  наблюдается включение одного фотоактивного dNMP в праймер и накопление одного ФР, в то время как в системе с ОТ ВИЧ образуются с близкой эффективностью два-три ФР, имеющие разную длину и содержащие разное число арилазидных групп [1]. Очевидно, при фотомодификации в такой системе будет накапливаться два-три набора продуктов, что сильно затруднит их анализ и усложнит сравнение свойств разных производных dCTP.

Важную дополнительную количественную информацию о субстратных свойствах аналогов dCTP при использовании системы п/м-1 и ДНК-полимеразы  $\beta$  дало определение кинетических констант в условиях односубстратного приближения. Для каждого из аналогов были найдены диапазоны концентраций, в которых зависимости начальных скоростей реакции нуклеотидильного переноса хорошо описывались уравнением Михаэлиса–Ментен [6]. Полученные величины представлены в табл. 1.

Для производных dCTP (I)–(III) и (V) отличие значений  $V_{max}$  по сравнению с dCTP было невелико. Присутствие заместителей в экзоциклической аминогруппе dCTP сказывалось, в основном, на величине  $K_m$ : повышение этого параметра в 4–20 раз, вероятнее всего, объясняется снижением эффективности связывания dNTP матрично-праймерным комплексом ДНК-полимеразы  $\beta$ . Сильное уменьшение значения  $V_{max}$  резко отличало производное dCTP (IV). Именно этот трифосфат не воспринимался ОТ ВИЧ в качестве аналога dCTP. Возможно, что ДНК-полимераза  $\beta$  эффективнее ОТ ВИЧ использует в элонгации аминогруппу этого субстрата, которая может составлять небольшую долю в его таутомерной смеси. Однако нельзя исключить и тот вариант, что ДНК-полимераза  $\beta$  существенно больше, чем ОТ ВИЧ, ошибается при распознавании именно иминоформы *N*-аминоокси-производных dCTP в качестве его аналогов. Механизм отбора аналога dNTP по его способности к комплементарному вза-

имодействию с основанием соответствующего нуклеотида матрицы может с некоторой вероятностью не срабатывать, так как известно, например, что в составе двунитиевой ДНК изоэлектронный аналог соединения (IV) – экзо-*N*-метокси-dCMP – не дестабилизирует существенно В-структуру ДНК, образуя достаточно стабильные комплементарные пары как с dAMP, так и с dGMP [7].

#### Сайт-специфическая фотомодификация праймер-матричного комплекса ДНК-полимеразы $\beta$

Сайт-специфическую фотомодификацию праймер-матричного комплекса ДНК-полимеразы  $\beta$  проводили *in situ* после включения одного из производных dCMP в большую часть 5'-<sup>32</sup>P-меченого праймера, осуществляя при избытке фермента (4-кратного) и матрицы (1.5-кратного) над праймером. При этом использовались концентрации трифосфатов (I)–(V) в 10–100 раз ниже значений  $K_m$ . В этих условиях фотосшивки должны происходить, в основном, в составе комплекса ФР с ферментом и матрицей при свободном dNTP-связывающем участке. Облучение реакционных смесей проводили УФ-светом с  $\lambda$  303–313 нм в течение одного и трех времен полупотолиза ( $\tau_{1/2}$ ), которые были определены для производных dCTP (I)–(V) в предыдущей работе [1].

Выбор этих двух кинетических точек обусловлен тем, что ранее было обнаружено появление дополнительных продуктов при длительном облучении соединения (I) [8]. В частности, были детектированы долгоживущие химически активные частицы, способные реагировать с первичными аминогруппами. Аналогичных фотопреакций можно ожидать и для других перфторарилазидных производных.

Состав смесей до и после облучения анализировали с помощью двух денатурирующих электрофорезов: ПААГ с 7 М мочевиной по методике работы [9] (для разделения олигонуклеотидов) и SDS-ПААГ-электрофорез по Леммли [10] (для разделения ДНК-полимеразы  $\beta$  и продуктов ее модификации). Продукты фотопришивок 5'-<sup>32</sup>P-праймеров к ДНК-полимеразе  $\beta$  (рис. 3) и матрице (данные не представлены) имели меньшую по сравнению с исходным ферментом и матрицей электрофоретическую подвижность.

Наблюданное снижение электрофоретических подвижностей у наиболее интенсивных полос примерно соответствует ожидаемому при ковалентной пришивке 16–17-мерных олигонуклеотидов. Во всех случаях, кроме основной, наблюдается несколько более слабых полос с меньшей электрофоретической подвижностью. Они, вероятнее всего, соответствуют миорным продуктам фотопришивок праймеров к молекулам фермента и

**Таблица 2.** Эффективность (%) образования фотопришивок к ДНК-полимеразе  $\beta^*(\alpha_e)$  и матрице ( $\alpha_t$ ) 5'- $^{32}\text{P}$ -меченых праймеров, элонгированных *in situ* экзо-*N*-замещенными производными dCTP (I)–(V) ( $\Phi P_I$ – $\Phi P_V$ ), при облучении УФ-светом с  $\lambda$  303–313 нм в течение одного и трех времен полуфотолиза (метод расчета см. в “Эксперимент. части”)

Фотоаффинный реагент	$1 \times \tau_{1/2}$ (50%-ный фотолиз)			$3 \times \tau_{1/2}$ (85%-ный фотолиз)		
	$\tau_{\alpha_e}$ ( $F\alpha_e$ )	$\tau_{\alpha_t}$ ( $F\alpha_t$ )	$\tau_{\alpha_e} + \tau_{\alpha_t}$ ( $F\alpha_e + F\alpha_t$ )	$\tau_{\alpha_e}$ ( $F\alpha_e$ )	$\tau_{\alpha_t}$ ( $F\alpha_t$ )	$\tau_{\alpha_e} + \tau_{\alpha_t}$ ( $F\alpha_e + F\alpha_t$ )
$\Phi P_I$	1 (2)	42 (84)	43 (86)	1.5 (1.5)	56 (65)	57.5 (66.5)
$\Phi P_{II}$	<0.5 (<0.5)	1 (2)	1 (2)	<0.5 (<0.5)	2 (2.5)	2 (2.5)
$\Phi P_{III}$	1.5 (3)	4 (8)	5.5 (11)	2.5 (3)	6.5 (7.5)	9 (10.5)
$\Phi P_{IV}$	12.5 (25)	3.5 (7)	16 (32)	20 (23.5)	5.5 (6.5)	25.5 (30)
$\Phi P_V$	1 (2)	0.5 (1)	1.5 (3)	2.5 (3)	1.5 (1.5)	4 (4.5)

\*  $\tau_{\alpha_e}$  и  $\tau_{\alpha_t}$  – доли фотопроявленного праймера (%), образовавшего пришивки к ферменту и матрице;  $F\alpha_e$  и  $F\alpha_t$  – значения  $\tau_{\alpha_e}$  и  $\tau_{\alpha_t}$ , нормированные на количество генерированных арилнитренов.

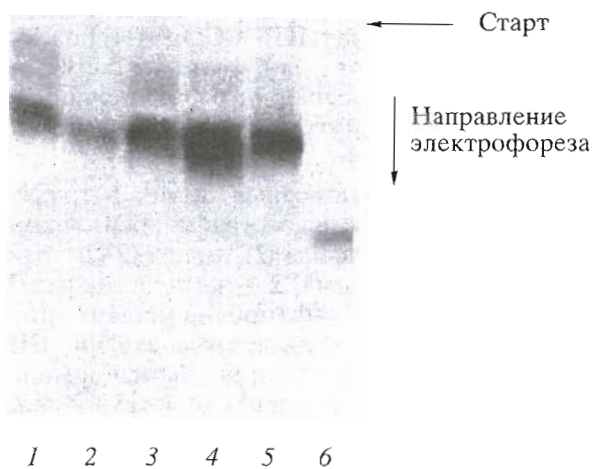
матрицы, которые могут отличаться по молекуллярной массе и по конформации.

Результаты количественного определения эффективностей фотопришивок праймеров к ДНК-полимеразе  $\beta$  и матрице в зависимости от времени облучения ( $\tau_{\alpha_e}$ ) и глубины фотолиза арилазидных групп ( $F\alpha_e$ ) представлены в табл. 2 (метод расчета подробно описан в “Эксперимент. части”).

Максимальная суммарная эффективность фотопришивок была получена при использовании  $\Phi P_I$ , несущего 4-азидотетрафторбензоильную группу после облучения в течение одного времени полуфотолиза ( $\tau_{\alpha_e} + \tau_{\alpha_t} = 86\%$ ). Минимальная эффективность получена при использовании  $\Phi P_{II}$ , несущего 2-нитро-5-азидобензоильную группу. Зависимость эффективности фотопришивок 5'- $^{32}\text{P}$ -меченых праймеров к матрице для аналогов dCTP, использованных при получении  $\Phi P$ , укладывается в ряд  $(I) \gg (III) \sim (IV) > (V) > (II)$ . Эта последовательность коррелирует с реакционной способностью синглетных нитренов, образующихся при фотолизе присутствующих в этих производных dCTP арилазидных групп [6, 11]. Эффективность фотопришивок к ДНК-полимеразе  $\beta$  для  $\Phi P_{IV}$  была  $\sim$  в 8 раз выше, чем для  $\Phi P_{III}$  ( $F\alpha_e \sim 25$  и 3% соответственно). При этом эффективность фотопришивок к матрице у  $\Phi P_{IV}$  и  $\Phi P_{III}$  различалась не существенно ( $F\alpha_t \sim 7$  и 8% соответственно). Использованные для получения этих  $\Phi P$  производные dCTP (III) и (IV) мало различаются длиной линкеров, но резко – по своим субстратным свойствам. Если значения  $K_m$  у них близки, то ве-

личина  $V_{max}$  для трифосфата (IV) в 20 раз меньше, чем для производного (III). Косвенно эти данные могут свидетельствовать об образовании плотного контакта между ферментом и экзоциклической группой производного (IV), препятствующего быстрому протеканию одной из стадий элонгации (нуклеотидилтрансферазной реакции, транслокации или диссоциации праймер-матричного комплекса). В этом случае генерируемый при фотолизе арилнитрен может оказаться в более благоприятном для образования белково-нуклеиновых пришивок окружении, чем в составе  $\Phi P_{III}$ .

Наблюдается хорошее соответствие величин  $F\alpha_e$  и  $F\alpha_t$ , полученных после облучения в течение одного и трех времен полуфотолиза, за исключением параметра  $F\alpha_t$  для аналога (I). Двадцатипро-



**Рис. 3.** Радиоавтограф электрофоретического разделения продуктов фотопришивки к ДНК-полимеразе  $\beta$  праймеров, элонгированных *in situ* аналогами dCTP (I) – дорожка 1; (II) – 2; (III) – 3; (IV) – 4; (V) – 5. Дорожка 6 – ДНК-полимераза  $\beta$  (окрашивание кумасси голубым R-250).

центное снижение средней эффективности не может быть объяснено погрешностью эксперимента и, вероятнее всего, отражает влияние одного или нескольких факторов, выявить которые не представляется возможным на основании представленных данных.

В целом, можно сделать предварительный вывод о том, что на эффективность фотопришивок к ДНК-полимеразе  $\beta$  ФР, несущих арилазидные группы, присоединенные через экзо-*N*-амино-группу 3'-концевого dCMP, влияют, по крайней мере, два независимых фактора: реакционная способность образующихся при фотолизе арилнитренов и характер белково-нуклеиновых контактов в районе локализации арилазидных групп.

## ЭКСПЕРИМЕНТАЛЬНАЯ ЧАСТЬ

В работе использовали реагенты: dNTP, глицин, EDTA, Трис, TEMED, кумасси G-250 (Sigma, США), MgCl<sub>2</sub>, формамид (Fluka, Швейцария),  $\beta$ -меркаптоэтанол (Serva, ФРГ), акриламид (Schwarz/Mann Biotech, ФРГ; ICN, США), *N,N*-метиленбисакриламид (Bio-Rad, США), T4-полинуклеотидкиназный буфер (New England Biolabs Laboratory, США), DEAE-бумагу DE-81 (Whatman, Великобритания), [ $\gamma$ -<sup>32</sup>P]ATP (>110 ТБк/ммоль, Биосан, Россия). Остальные реагенты российских фирм: ацетон, NaCl, KCl, HCl квалификации "ос.ч."; H<sub>3</sub>BO<sub>3</sub>, HClO<sub>4</sub>, мочевина квалификации не ниже "ч.д.а.".

Препартивные хроматографии проводили с помощью хроматографического комплекта: Uvicord SD/Ultrorac II (LKB, Швеция). Количество радиоактивности (изотоп <sup>32</sup>P) определяли по Черенкову с помощью счетчика "Minibetta" (LKB, Швеция).

Все использованные синтетические гетероолигонуклеотиды синтезированы в группе олигонуклеотидного синтеза (НИБХ СО РАН, Россия). Праймеры были помечены [<sup>32</sup>P] по 5'-концу с помощью T4-полинуклеотидкиназы [12] и очищены электрофорезом в денатурирующем ПААГ с 7 М мочевиной [9].

**Фотоактивные производные dCTP:** 5'-трифосфаты экзо-*N*-[2-(4-азидотетрафторбензоиламино)этил]-2'-дезоксицитидина (**I**), экзо-*N*-[2-(2-нитро-5-азидобензоиламино)этил]-2'-дезоксицитидина (**II**), экзо-*N*-[2-(4-азидотетрафторбензилиденаминооксиметилкарбамил)этил]-2'-дезоксицитидина (**III**), экзо-*N*-[4-(4-азидотетрафторбензилиденаминоокси)бутилокси]-2'-дезоксицитидина (**IV**) и экзо-*N*-[4-(4-азидотетрафторбензилиденгидразинокарбонил)бутилкарбамил]-2'-дезоксицитидина (**V**) синтезированы как описано в работах [1, 2].

**Рекомбинантная ДНК-полимераза  $\beta$  крысы** (КФ 2.7.7.7) была экспрессирована в системе *E. coli* (штамм BL21DE3 (pLys E)). Плазмида pRSET, содержащая ген ДНК-полимеразы  $\beta$  крысы, была любезно предоставлена проф. С. Вилсо-

ном (Национальный институт наук о здоровой окружающей среде, США). Для разрушения клеток использовали метод, приведенный в [13] с дополнительной обработкой ультразвуком для деградации ДНК. Схема очистки фермента, в основном, соответствовала описанной в работе [13]. Отличиями являются: дополнительная обработка суспензии клеток для деградации ДНК после воздействия лизоцимом; кроме того, для очистки белка использовали хроматографию на гепарин-сепарозе (элюция в линейном градиенте концентрации KCl (0.15–0.6 М) в 50 мМ Трис-HCl-буфере (pH 7.7), содержащем 0.1 мМ EDTA, 0.5 % Non-ident NP-40 (буфер А)) и оцДНК\*-целлюлозе (элюция в линейном градиенте концентрации KCl (0.15–1.0 М) в буфере А вместо фосфоцеллюзы и целлюлозы с иммобилизованной тимусной ДНК, соответственно (ср. [13]). Чистоту полученных препаратов ДНК-полимеразы  $\beta$  контролировали на всех стадиях с помощью электрофореза в ПААГ по Лэммли [10].

Для приготовления ДНК-дуплекса праймер и матрицу смешивали в мольном соотношении 1 : 1.5, помещали в водяную баню при 90°C и медленно охлаждали до комнатной температуры.

### Субстратные свойства фотоактивируемых производных dCTP

Реакцию синтеза ДНК, катализируемую ДНК-полимеразой  $\beta$ , проводили в буфере следующего состава: 50 мМ Трис-HCl (pH 8.8), 50 мМ KCl, 10 мМ MgCl<sub>2</sub>, 0.25 мМ  $\beta$ -меркаптоэтанол (буфер Б). Кроме этого, реакционная смесь содержала 0.75 мкМ матрицу, 0.5 мкМ 5'-<sup>32</sup>P-праймер, 0.5 мкМ ДНК-полимеразу  $\beta$ , одно из производных dCTP (**I**)–(**V**) или dCTP в концентрации 10 мкМ. Реакцию запускали добавлением фермента и проводили при 37°C в течение 30 мин. Продукты синтеза анализировали электрофорезом в 20% ПААГ в денатурирующих условиях [9] с последующей радиоавтомографией.

Кинетические параметры для dCTP и его производных (**I**)–(**V**) в ферментативной реакции определяли в буфере А в реакционной смеси, содержащей 1.5 мкМ матрицу, 1 мкМ 5'-<sup>32</sup>P-праймер (п/м-1-система), dCTP или одно из его производных в следующих диапазонах концентраций (М): dCTP  $5 \times 10^{-7}$ – $1.5 \times 10^{-4}$ ; (**I**)  $5 \times 10^{-7}$ – $2.8 \times 10^{-4}$ ; (**II**)  $10^{-6}$ – $1.4 \times 10^{-4}$ ; (**III**)  $5 \times 10^{-6}$ – $1.2 \times 10^{-4}$ ; (**IV**)  $2 \times 10^{-5}$ – $1.8 \times 10^{-4}$ ; (**V**)  $2.5 \times 10^{-6}$ – $1.3 \times 10^{-4}$ . Реакцию запускали добавлением фермента до конечной концентрации  $6 \times 10^{-8}$  М и проводили при 37°C. Из реакционной смеси объемом 10 мкл отбирали аликовты объемом 2 мкл через 10, 20, 30 с и останавливали реакцию добавлением буфера для нанесения на ПААГ [9]. Продукты синтеза анализировали эле-

\* оцДНК – одноцепочечная ДНК.

ктрофорезом в 20% ПААГ в денатурирующих условиях [9] с последующей радиоавтографией. Затем участки геля, содержащие радиоактивность, вырезали и просчитывали по Черенкову. Для каждой из дорожек определяли эффективность элонгации праймера аналогом dCTP. Полученные величины использовали для определения величин  $K_m$  и  $V_{max}$  с помощью программы Origin 6.0 (Microcal Software, Inc., США).

**Сайт-специфическая фотомодификация праймер-матричных комплексов ДНК-полимеразы  $\beta$ .** В реакционную смесь, содержащую 0.5 мкМ 5'-<sup>32</sup>P-праймер, 0.75 мкМ матрицу (п/м-1-система) и 2 мкМ ДНК-полимеразу  $\beta$  в буфере Б, добавляли одно из производных dCTP (I)–(III), (V) в концентрации 2 мкМ или производное (IV) в концентрации 10 мкМ. Реакцию запускали добавлением аналога, проводили при 37°C в течение 30 мин для производных (I)–(III), (V) или в течение 60 мин в случае производного (IV). После этого реакционную смесь помещали в лед. Затем проводили облучение светом ртутной лампы низкого давления ДРК-120 осветителем ОИ-18А (ЛОМО, Санкт-Петербург) на расстоянии 25 см через фильтры ЖС-3 и УФС-2 (полоса пропускания 303–313 нм,  $W = 2 \times 10^{-5}$  Вт/см<sup>2</sup>). Мощность излучения лампы ( $W$ ) определяли с помощью ферриоксалатного актинометра [14]. Времена облучения соответствовали временам полуфотолиза, определенным как описано в работе [1] и составляли: 10 мин в случае аналога (I), 30 сек – (II) и (III), 1 мин – (IV), 10 сек – (V). Для анализа продуктов фотопришивок 5'-<sup>32</sup>P-меченых праймеров к матрице отбирали 5 мкл смеси и анализировали с помощью электрофореза в 20% ПААГ, содержащем 7 М мочевину [9] с последующей радиоавтографией. Для анализа продуктов аффинного фотомечения ДНК-полимеразы  $\beta$  отбирали 15 мкл смеси и анализировали электрофорезом в 12.5% ПААГ по Лэммли [10] с последующей радиоавтографией. Затем проводили количественную обработку данных.

**Расчет эффективности фотопришивок 5'-<sup>32</sup>P-меченых праймеров к матрице и ДНК-полимеразе  $\beta$ .** Полоски геля, содержащие радиоактивность, вырезали и просчитывали по Черенкову. Для каждого из ФР определяли:

1) по данным, полученным с помощью ПААГ-электрофореза в 7 М мочевине, суммарные радиоактивности участков гелей, содержащих не-элонгированный 5'-<sup>32</sup>P-меченный праймер ( $p_0$ ), ФР и продукты фотореакций, имеющие подвижность, совпадающую или близкую к ФР ( $p$ ), продукты фотопришивок 5'-<sup>32</sup>P-меченых праймеров к матрице ( $t$ ).

2) по данным, полученным с помощью SDS-электрофореза по Лэммли [10], радиоактивности участков геля, содержащих не связанные с ферментом меченные олигонуклеотиды ( $N$ ), суммар-

ные радиоактивности полос, относящихся к продуктам фотопришивок 5'-<sup>32</sup>P-меченых праймеров к ДНК-полимеразе  $\beta$  ( $E$ ).

3) для каждого из опытов оценивали коэффициент ( $k$ ), позволяющий соотнести количества реакционных смесей, использованных при электрофоретическом анализе методами [9] и [10], исходя из уравнения:  $p_0 + p + t = kN$ , и затем рассчитывали значение  $e = kE$ , которое принимали в качестве величины суммарной радиоактивности продуктов фотопришивок к ферменту, не детектируемой при использовании метода [10]. Далее рассчитывали эффективности (в процентах) фотопришивок 5'-<sup>32</sup>P-меченых праймеров к матрице ( ${}^t\alpha_t$ ) и ДНК-полимеразе  $\beta$  ( ${}^t\alpha_e$ ) в зависимости от времени фотолиза с помощью формул:  ${}^t\alpha_t = t/(p + t + e) \times 100$  и  ${}^t\alpha_e = e/(p + t + e) \times 100$ , и затем в расчете на количество прореагировавших арилазидных групп с помощью формул  ${}^F\alpha_t = \alpha_t/\Delta$  и  ${}^F\alpha_e = \alpha_e/\Delta$ , где параметр  $\Delta$  равен доле прореагировавших арилазидных групп и составляет 0.5 для одного времени полуфотолиза и 0.85 для трех времен полупотолиза. Полученные величины округляли до 0.5%, что соответствует средним значениям фонового счета фрагментов гелей, не содержащих детектируемые на электрофореграммах полосы.

Настоящая работа была поддержана грантами РФФИ № 98-03-32958, № 99-04-49277, № 99-04-04016, № 00-04-22002, INTAS-96-1778 и программой “Университеты России” грант № 3Н-346-00.

## СПИСОК ЛИТЕРАТУРЫ

- Сафонов И.В., Щербик Н.В., Ходырева С.Н., Власов В.А., Добриков М.И., Шишкин Г.В., Лаврик О.И. // Биоорган. химия. 1997. Т. 23. С. 576–585.
- Wlassoff W.A., Dobrikov M.I., Safronov I.V., Dudko R.Y., Bogachev V.S., Kandaurova V.V., Shishkin G.V., Dymshits G.M., Lavrik O.I. // Bioconjug. Chem. 1995. V. 6. P. 352–360.
- Кочетков Н.К., Будовский Э.И., Свердлов Е.Д., Симукова Е.А., Турчинский М.Ф., Шибаев В.Н. Органическая химия нуклеиновых кислот. М.: Химия, 1970. С. 310–400.
- Liang T.-Y., Schuster G.B. // J. Amer. Chem. Soc. 1987. V. 109. P. 7803–7810.
- Добриков М.И., Дудко Р.Ю., Шишкин Г.В. // Биоорган. химия. 1996. Т. 22. С. 191–199.
- Диксон М., Уэбб Э. Ферменты 1: Пер. с англ. М.: Мир, 1982. С. 92–94.
- Anand N.N., Brown D.M., Salisbury S.A. // Nucl. Acids Res. 1987. V. 15. P. 8167–8176.
- Сафонов И.В. Конструирование фотоаффинных реагентов для исследования комплексов матрично-зависимого синтеза нуклеиновых кислот. Производные (d)NTP, несущие перфторазидоарильные группы. Дис. ... канд. хим. наук. НИБХ СО РАН, 1999. С. 60–70.

9. Sambrook J., Fritsch E.F., Maniatis T. Molecular Cloning: A Laboratory Manual. 2nd edn. Cold Spring Harbor, N.Y.: Cold Spring Harbor Laboratory Press, 1989.
10. Laemmli U.K. // Nature. 1970. V. 277. P. 680–685.
11. Добриков М.И., Дудко Р.Ю., Левина А.С., Халимская Л.М., Шишкин Г.В. // Биоорган. химия. 1996. Т. 22. С. 200–207.
12. Protocols and Applications Guide Promega. 1991. P. 150–152.
13. Date T., Yamaguchi M., Hirose F., Nishimoto Y., Tanibara K., Matsukage A. // Biochemistry. 1988. V. 27. P. 2983–2990.
14. Калверт Дж., Питтс Дж. Фотохимия: Пер. с англ. М.: Мир, 1968. С. 625–627.

## Reagents for Modification of Protein–Nucleic Acid Complexes. II. Site-Specific Photomodification of Mammalian DNA Polymerase $\beta$ Complexes with Primers Extended by the dCTP *exo*-N-Substituted Arylazido Derivatives

I. A. Drachkova\*\*, I. O. Petrusheva\*, I. V. Safronov\*, A. L. Zakharenko\*, G. V. Shishkin\*, O. I. Lavrik\*, and S. N. Khodyreva\*

e-mail: safron@niboch.nsc.ru.

\*Novosibirsk Institute of Bioorganic Chemistry, Siberian Division, Russian Academy of Sciences,  
prosp. Akademika Lavrent'eva 8, Novosibirsk, 630090 Russia

\*\*Novosibirsk State University, ul. Pirogova 2, Novosibirsk, 630090 Russia

Substrate properties of the earlier synthesized and characterized dCTP derivatives bearing in the *exo*-N-position of cytosine 2-(4-azido-2,3,5,6-tetrafluorobenzoylamino)ethyl (**I**), 2-(2-nitro-5-azidobenzoylamino)ethyl (**II**), 2-(4-azido-2,3,5,6-tetrafluorobenzylideneaminoxy)methylcarbonylamino)ethyl (**III**), 4-(4-azido-2,3,5,6-tetrafluorobenzylideneaminoxy)butyloxy (**IV**), or 4-(4-azido-2,3,5,6-tetrafluorobenzylidenehydrazinocarbonyl)butylcarbonylamino (**V**)-groups were studied in the primer extension reaction catalyzed by rat DNA polymerase  $\beta$ . Unlike the earlier results obtained with HIV reverse transcriptase, dCTP derivatives (**I**–**III**) were not recognized by rat DNA polymerase  $\beta$  as dTTP analogues, and all the five nucleotides were utilized as dCTP analogues. When compared with dCTP,  $K_m$  values for the synthesized dCTP derivatives were higher by a factor of 4–20;  $V_{max}$  were 1–2.3 times higher for (**I**)–(**III**) and (**V**) but 20-fold lower for derivative (**IV**). Site-specific photomodifications of the primer–template–DNA polymerase  $\beta$  complexes were carried out using photoreactive reagents PR<sub>I</sub>–PR<sub>V</sub>, obtained *in situ* by extension of 5'-<sup>32</sup>P-labeled primers with dCTP analogues (**I**)–(**V**), respectively, when exposed to UV irradiation at 303–313 nm. Reagents PR<sub>I</sub> and PR<sub>IV</sub> provided the maximum photocrosslinking of the 5'-<sup>32</sup>P-labeled primer to the DNA template (56%) and to the enzyme (20%), respectively. The lowest efficiency of photocrosslinking was observed for PR<sub>II</sub> (about 1%). The English version of the paper: *Russian Journal of Bioorganic Chemistry*, 2001, vol. 27, no. 3; see also <http://www.maik.ru>.

**Key words:** dCTP derivatives, DNA polymerase  $\beta$ , perfluoroarylazides, photoaffinity modification